

تعیین بی‌هنگاری‌های ژئوشیمیایی رسوبات آبراهه‌ای معدن سرب و روی سنگل شمال خمین با استفاده از روش شاخص سینگولاریتی

زهرا قدیمی^۱، فریدون قدیمی^{۲*} و محمد قمی^۳

۱، ۲ و ۳- دانشکده مهندسی معدن، دانشگاه صنعتی اراک، اراک

* ghadimi@Arakut.ac.ir

دریافت: ۹۵/۸/۲۴ پذیرش: ۹۶/۷/۲۴

چکیده

منطقه چنان از شهرستان خمین واقع در زون تکتونیکی سندنج-سیرجان و در کمریند متالوژنیکی ملایر-اصفهان دارای کانی‌زایی Pb, Zn, Ba, Ag بوده که مجموعه‌ای از کانی‌های ثانویه نظری کوارتز، همانیت، لیمونیت، کلسیت و مالاکیت را نیز به همراه دارد. در بررسی ژئوشیمیایی از رسوبات آبراهه‌ای، با برداشت ۱۲۷ نمونه و تعیین ۱۴ عنصر نظری $W, Zn, U, Th, Ce, K, Mn, Pb, S, Sr, Ca, Ba, As$ و Zr بی‌هنگاری‌ها به دو روش لپیلیتی و شاخص سینگولاریتی تعیین گردید. با توجه به نقشه‌های بی‌هنگاری تهیه شده، عیار اکثر عناصر به روش لپیلیتی در حد زمینه بوده و مناطق بی‌هنگاری تنها در مناطق محدودی از منطقه دیده می‌شوند. در نقشه‌های حاصل از روش سینگولاریتی، بی‌هنگاری‌های پنهان بهتر شناسایی شده و انتباق خوبی بین بی‌هنگاری‌های موجود و موقعیت فعلی معدن سرب و روی سنگل در منطقه وجود دارد. غنی‌شدگی عنصری چون $Zn, W, U, Th, Sr, S, Pb, Mn, Ce, K, Ca, As, Ba$ و Zr به روش شاخص سینگولاریتی در منطقه دیده می‌شود. هم‌چنین در این بررسی، دو منطقه دارای بی‌هنگاری به عنوان هدف اکتشافی آتی شناسایی گردید.

واژه‌های کلیدی: شاخص سینگولاریتی، روش لپیلیتی، رسوبات آبراهه‌ای، خمین

شاخص سینگولاریتی و تکنیک ترسیم نقشه توسط این روش را برای پیش‌بینی مکانی ذخایر معدنی مناسب دانست [۴]. *Zuo* و همکارانش در سال ۲۰۰۹ مطرح نمودند، بی‌هنگاری‌های ضعیف در بین زمینه پنهان شده و به وسیله وزن‌دهی معکوس فاصله شناخته نمی‌شوند، ولی روش ترسیم نقشه سینگولاریتی به خوبی این بی‌هنگاری‌ها را نشان می‌دهد [۹]. *Cheng* و *Agterberg* در سال ۲۰۰۵ نشان دادند رسوبات آبراهه‌ای در همسایگی ذخایر کانسنگ می‌توانند خواص سینگولار داشته باشند، بنابراین، سینگولاریتی را برای تعیین محیط‌های بی‌هنگار پیشنهاد دادند که اغلب در بررسی‌های معمولی ژئوشیمیایی و ترسیم نقشه‌ها دیده نمی‌شوند [۵]. *Zhao* و *Cheng* در سال ۲۰۱۱ نشان دادند که بی‌هنگاری‌های ژئوشیمیایی بر اساس تئوری سینگولاریتی می‌تواند برای توصیف و پیش‌بینی فرآیندهای کانی‌زایی غیر خطی نیز مورد استفاده قرار گیرد [۶]. *Zuo* و همکارانش در سال ۲۰۱۴ روش‌های فرکتالی/مولتی فرکتالی غلظت-مساحت (*C-A*)، طیف-مساحت (*S-A*) و شاخص سینگولاریتی را برای شناسایی

استان مرکزی که در نوار ماقمایی ارومیه - بزمان و پهنه ساختاری سندنج - سیرجان واقع شده دارای توان معدنی فلزی و غیرفلزی بالایی است. مواد معدنی فلزی استان شامل: $W, Sn, Mo, Au, Cu, Zn, Pb, Ag$: کانی‌های صنعتی و نیمه‌قیمتی نظری آندالوزیت، باریت، ژاسپر، آزوریت، مالاکیت، عقیق و کلسیت است [۲]. جهت شناسایی بی‌هنگاری‌های ژئوشیمیایی روش‌های مختلفی وجود دارد. یکی از روش‌هایی که امروزه مورد توجه قرار گرفته، روش شاخص سینگولاریتی^۱ می‌باشد [۲]. باز کردن بی‌هنگاری‌های پنهان که ممکن است روش‌های دیگر آن را در زمینه قرار دهند از ویژگی‌های این شاخص است. محققین مختلفی سعی کرده‌اند با استفاده از شاخص سینگولاریتی به همراه روش‌های دیگر به صورت ترکیبی بی‌هنگاری‌های ژئوشیمیایی را نشان دهند. به عنوان مثال: *Cheng* برای طبقه‌بندی فرآیندهای کانی‌زایی گرمابی در سال ۲۰۰۷ مفهوم سینگولاریتی را ارائه داد و بیان نمود کانی‌زایی می‌تواند فرآیندی سینگولار باشد، لذا

^۱ Index Singularity

کوارتزآرنایتی، ماسه‌سنگ‌های آهکی، سنگ‌آهک‌های دولومیتی، ماسه‌سنگ‌های قرمز رنگ، کنگلومرا، شیل و دولومیت تشکیل شده است. این واحد را می‌توان قاعده پیش رونده رسوبات کرتاسه دانست. این واحد به صورت تدریجی به سنگ‌آهک‌های ضخیم لایه واحد بعدی تبدیل می‌شود [۱]. بر روی واحد فوق واحدی از سنگ‌های آهکی ماسه‌ای فسیل‌دار ضخیم لایه قرار دارد. در ادامه، واحد فوق به سنگ‌آهک‌های دولومیتی و سنگ‌آهک‌های نازک لایه زرد رنگ تبدیل می‌شود. به علاوه، تابع سنگ‌هایی چون شیل‌های سیلتی و ماسه‌سنگ ورقه‌ای خاکستری و سپس مارن و شیل‌های آهکی با سن کرتاسه بر روی آن قرار دارد. کانی‌زایی اولیه در معدن سنگ شامل Pb, Zn, Ba, Ag بوده که مجموعه‌ای از کانی‌های ثانویه نظیر رگه‌های سیلیسی، هماتیتی، ییمونیتی، کلسیتی و مالاکیت را نیز به همراه دارد. تونل‌ها و چاهک‌های اکتشافی زیادی جهت بهره‌برداری نقره در این معدن حفر شده است. فعلاً فقط باریت استخراج می‌گردد [۲].

۳- مواد و روش‌ها

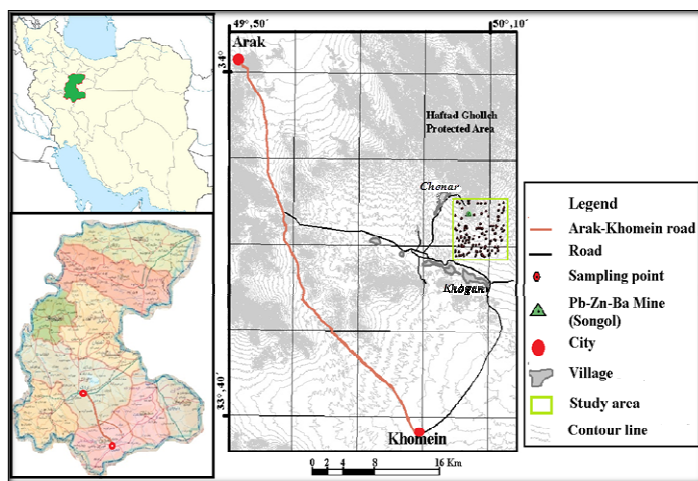
۳-۱- نمونه‌برداری و تجزیه شیمیایی

در شبکه نمونه‌برداری، مسیر تمام آبراهه‌های اصلی به فواصل هر کیلومتر ۲ تا ۳ نمونه و همچنین در محل تلاقی شاخه‌های فرعی قبل از ورود آن‌ها به شاخه اصلی نیز نمونه رسوب برداشت شد. برای برداشت رسوب، ۱۰ تا ۲۰ سانت متر از خاک رویی حاوی مواد آلی و واریزه کنار زده شد و حدود ۵۰ گرم از رسوب در وسط بستر آبراهه با ابعاد کمتر از ۸۰ میلی‌متر توسط الک تفکیک گردید [۱]. تعداد ۱۲۷ نمونه رسوب آبراهه‌ای از منطقه چنار در شمال شهرستان خمین برداشت و پس از آماده‌سازی‌های لازم ۴۴ عنصر نظیر $Ag, Al, As, Ba, Ca, Cd, Ce, Co, Mg, Mn, Li, Gd, Hf, K, La, Ga, Cr, Cu, Dy, Eu, Fe, Mo, Na, Nb, Nd, Ni, P, Pb, Pr, S, Sc, Sm, Sr, Ta, ICP-MS$ و $Zr, Th, Ti, U, V, W, Y, Yb, Zn$ تجزیه شده‌اند (شکل ۳). با حذف داده‌های خارج از رده، داده‌هایی از عناصر که دارای غلظت یکسان بوده و همچنین عناصر نادر خاکی، عناصر Ba, Ce, Ca, As و Th, Sr, S, Pb, Mn ، W و Zn برای مطالعه انتخاب شدند. کلیه برنامه‌های شاخص سینگولاریتی در برنامه نرم‌افزاری مطلب (*Matlab*) اجرا گردید.

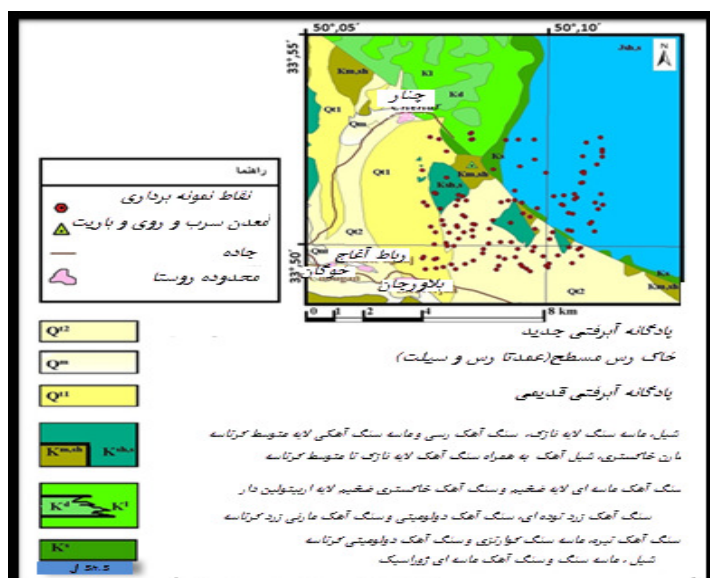
بی‌هنجری‌های ضعیف در ناحیه پلی‌متالیک آهن کائوبولنگ چین بکار گرفتند و نشان دادند که مدل غلظت-مساحت (*C-A*) و طیف-مساحت (*S-A*) برای شناسایی به هنجری‌های ضعیف محدودیت داشته، اما شاخص سینگولاریتی ابزاری مفید برای شناسایی بی‌هنجری‌های ضعیف می‌باشد [۸]. *Zhao* و همکارانش در سال ۲۰۱۳ بر روی داده‌های حاصل از نمونه‌برداری سنگی مناطق گسل‌خورده تحقیق نموده و نتایج تحلیل را با روش‌های تحلیل فاکتوری و شاخص سینگولاریتی مقایسه نمودند [۱۱]. در این تحقیق نیز سینگولاریتی به عنوان ابزاری مفید برای تعیین غنی‌شدگی و تهی‌شدگی در منطقه مورد توجه قرار گرفت. *Liu* و همکارانش در سال ۲۰۱۴ روش سینگولاریتی را برای تعیین کانی‌زایی عناصر نادر خاکی (*REE*) پنهان در زمینه ژئوشیمیایی و روش فرکتالی غلظت-مساحت را برای جداسازی جامعه بی‌هنجری از زمینه بکار گرفتند [۷]. *Zuo* و همکارانش در سال ۲۰۱۴ شاخص سینگولاریتی اصلاح یافته را برای شناسایی بی‌هنجری‌های ضعیف مورد استفاده قرار دادند [۱۰]. در این تحقیق با بکارگیری روش شاخص سینگولاریتی و مقایسه آن با روش لپلیتیه، بی‌هنجری‌های ژئوشیمیایی منطقه چنار از شهرستان خمین شناسایی گردید. توصیف نقاط تهی‌شدگی، غنی‌شدگی و زمینه و همچنین تشخیص ارتباط بین مقدار سینگولاریتی، سنگ‌شناسی و تکتونیک و پیش‌بینی نواحی امید بخش از اهداف دیگر این تحقیق است.

۲- موقعیت جغرافیایی و زمین‌شناسی منطقه

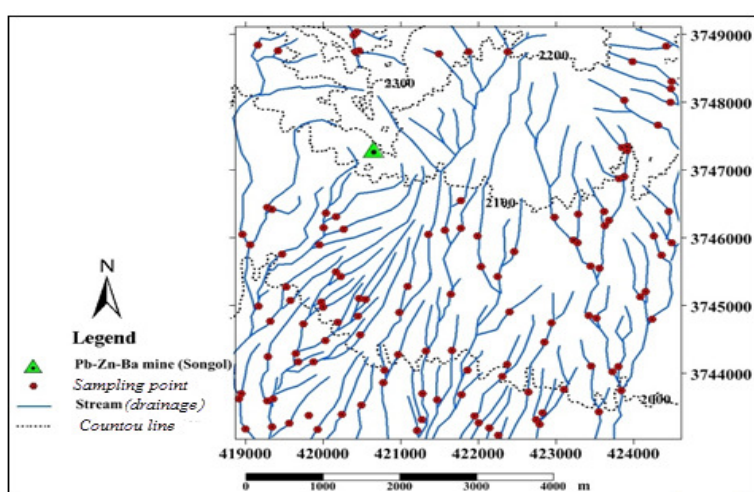
منطقه مورد مطالعه در اطراف روستای چنار از شهرستان خمین و در نزدیکی معدن Pb, Zn, Ba, Ag سنگ و در طول جغرافیایی ۵۰ درجه و ۵ دقیقه تا ۵۰ درجه و ۱۲ دقیقه و عرض جغرافیایی ۳۳ درجه و ۴۸ دقیقه تا ۳۳ درجه و ۵۵ دقیقه واقع می‌باشد. معدن سنگ قبلًاً معدن متروکه بوده و اخیراً در آن فعالیت‌های استخراجی و اکتشافی شروع شده است (شکل ۱) [۲]. قدیمی‌ترین واحد منطقه مربوط به ژوراسیک از جنس ماسه‌سنگ‌های کوارتزیتی ضخیم لایه است که به طور تدریجی به شیل‌های سیلتی با میان لایه‌هایی از ماسه‌سنگ‌های آهکی تا آهک ماسه‌ای متوسط تا ضخیم لایه تبدیل شده است (شکل ۲). واحدهای کرتاسه از ماسه‌سنگ‌های



شکل ۱. موقعیت جغرافیایی منطقه مورد مطالعه (شمال خمین- استان مرکزی)



شکل ۲. واحدهای زمین‌شناسی منطقه مورد مطالعه در شمال خمین (برگرفته از نقشه زمین‌شناسی خمین)



شکل ۳. نقشه نقاط نمونهبرداری رسوبات آبراهه‌ای منطقه مورد مطالعه در شمال شهرستان خمین

که C نمایان‌گر مقدار میانگین غلظت عنصر؛ c مقداری ثابت؛ α شاخص سینگولاریتی؛ ϵ میزان فاصله نرمال شده و E بعد هندسه اقلیدسی می‌باشد [۱۰]. شاخص سینگولاریتی از شب خط مستقیم برازش شده با جفت داده‌های C و ϵ در نمودار تمام لگاریتمی تخمین زده می‌شود. این روش دو نوع بی‌هنجری قوی و ضعیف را نشان می‌دهد.

برای تخمین سینگولاریتی محلی از نقشه ژئوشیمیابی می‌توان از روش پنجره مبنا استفاده کرد؛ به طوریکه موقعیتی روی نقشه با دسته‌ای از پنجره‌های متغیر ($A(r)$ (مربع شکل) با اندازه‌های پنجره‌های مختلف $r_{min} = r_1 < r_2 < \dots < r_n = r_{max}$ در نظر گرفته می‌شود. برای هر اندازه پنجره، مقدار میانگین غلظت $C[A(r_i)] (i=1, \dots, n)$ محاسبه می‌شود. این مقدار $A(r_i)$ تمایل خطی بر روی نمودار تمام لگاریتمی نشان می‌دهد (رابطه ۲):

$$\log C[A(r)] = c + (\alpha - 2) \log r \quad (2)$$

شبیت تخمین زده شده از رابطه خطی ۲ به صورت ۲- α معرفی می‌شود. رفتار مشابهی توسط پنجره‌های متغیر در تمام موقعیت‌های روی نقشه ژئوشیمیابی می‌تواند ایجاد شود [۴]. مقدار شاخص سینگولاریتی محاسبه شده از نقشه‌های دو بعدی معمولاً حدود ۲ است. برای حالت دو بعدی سینگولاریتی مثبت ($\alpha > 2$) با غنی‌شدگی و سینگولاریتی منفی ($\alpha < 2$) با تهی‌شدگی رابطه دارد.

۲-۳- روش‌های تعیین بی‌هنجری

روش لپیلیته

روش لپیلیته یکی از متدائل‌ترین روش‌های تخمین مقادیر زمینه، حد آستانه و ناهنجاری می‌باشد. در این روش در ابتداء منحنی فراوانی تجمعی داده‌ها تهیه و سپس مقدار میانه توزیع مشخص گردید (باید توجه داشت در توزیع نرمال میانه برابر میانگین حسابی و در توزیع لگاریتمی برابر میانگین هندسی می‌باشد). پس از میانه، مقادیر متناظر با $S + \bar{X}$ و $S - \bar{X}$ از این نمودار قرائت می‌شود که \bar{X} میانگین و S انحراف استاندارد جامعه می‌باشد [۳] (جدول ۱).

پس از به دست آوردن مقادیر متناظر با درصد تجمعی ۸۴٪، ۹۷٪، ۹۹٪ با توجه به جدول ۱ مقادیر آستانه‌های محلی انتخاب می‌شوند. ولی مهم‌ترین مقدار، مقدار متناظر با درصد تجمعی ۹۷ درصد می‌باشد که بیانگر حد آستانه بین زمینه و بی‌هنجری است. مقادیر بالاتر از این مقدار به عنوان بی‌هنجری شناخته می‌شود.

شاخص سینگولاریتی

جهت تخمین سینگولاریتی، از یک سری پنجره‌ها (r_i) (با شکل مربع) برای اندازه‌گیری تراکم غلظت (C) حول یک موقعیت خاص (Z_i) استفاده شد. شاخص سینگولاریتی در یک همسایگی کوچک طبق رابطه ۱ تخمین زده می‌شود:

$$C - c \cdot e^{-\alpha} \quad (1)$$

جدول ۱. تقسیم‌بندی مناطق بر حسب مقدار میانگین و انحراف استاندارد [۳].

ردیف	مقادیر داده‌ها	درصد تجمعی	ردیف بندی ژئوشیمیابی
۱	$\bar{X} + 2S - \bar{X} + S$	۹۷-۸۴٪.	زمینه
۲	$\bar{X} + 2S$	۹۷٪.	حد آستانه
۳	$>\bar{X} + 2S$	۹٪.<	بی‌هنجری
۴	$\bar{X} + 3S - \bar{X} + 3S$	۹۷-۹۹٪.	بی‌هنجری ممکن
۵	$\bar{X} + 4S - \bar{X} + 3S$	۹۹-۹۹.۷٪.	بی‌هنجری احتمالی
۶	$\bar{X} + 4S <$	۹۹.۷٪.<	بی‌هنجری قطعی

۱-۴- بررسی پراکندگی عناصر به روش لپیلیته

برای ترسیم نقشه‌های پراکندگی غلظت و نقشه‌های تفکیک بی‌هنجری از زمینه با حد آستانه‌ای (روش لپیلیته) می‌باشد نوع توزیع داده‌ها مشخص شود. از چهار روش شاخص‌های مرکزی، چولگی و کشیدگی،

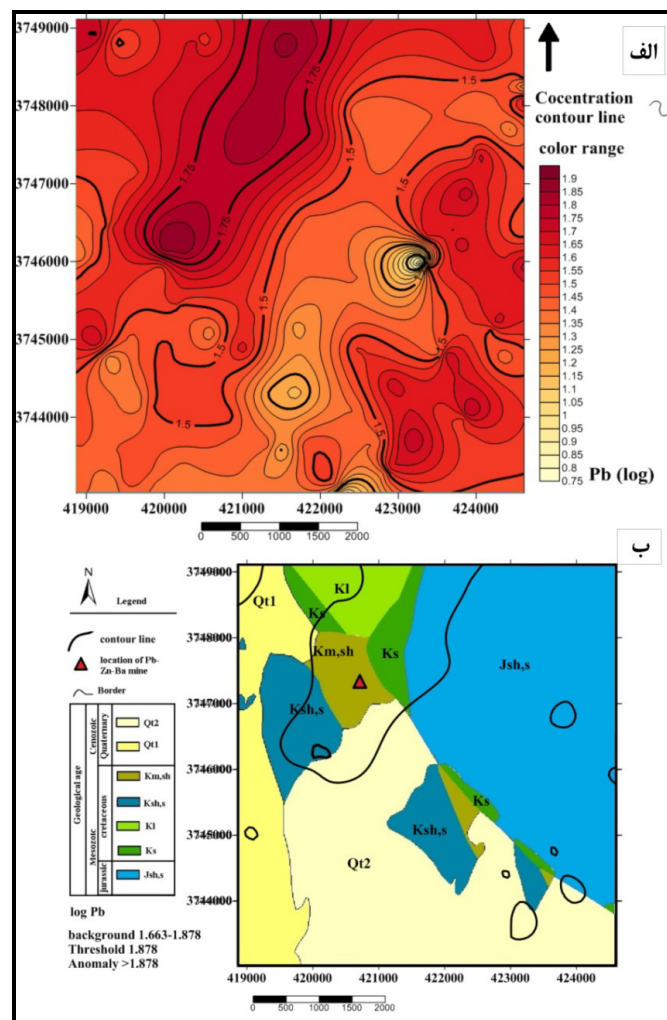
۴- نتایج و بحث

برای تعیین بی‌هنجری‌های منطقه، نقشه‌های پراکندگی غلظت عناصر، نقشه‌های تفکیک بی‌هنجری از زمینه با حد آستانه‌ای لپیلیته و نقشه‌های شاخص سینگولاریتی با یکدیگر مقایسه شدند.

Zr و W, Zn, U, Th, Sr, S, Pb محاسبه و نقشه آن‌ها تهیه گردید. نقشه خطوط هم غلظت هم برای داده‌های لگاریتمی آن در شکل ۴ الف نشان داده شده است. بیشترین مقادیر Pb در حوالی معدن سنگل دیده می‌شود. مقدار $1/87$ حد تفکیک بی‌هنجری از زمینه در روش لپلیتیه است. این مقدار متناظر با 84% درصد فراوانی تجمعی لگاریتم Pb می‌باشد. مقادیر بیش از این مقدار به عنوان بی‌هنجری بوده که عمدتاً در جنوب معدن Pb و Zn سنگل دیده می‌شود (شکل ۴ ب). با توجه به شکل ۵ الف غلظت Zn از مرکز به شمال افزایش می‌باید. به علاوه، بخشی از این افزایش در جنوب‌شرقی منطقه دیده می‌شود. در شکل ۵ ب نیز مناطق بی‌هنجری Zn نیز شبیه بی‌هنجری Pb است.

شکل نمودار فراوانی و آزمون $K-S$ برای تایید اینکه داده‌ها نرمال و یا لاگ نرمال است استفاده شد. نتایج نشان داد عناصر Zr و K, Th, U, W از توزیع نرمال و عناصر $As, Ba, Ca, Ce, Mn, Pb, S, Sr$ و Zn از توزیع لاگ‌نرمال تبعیت می‌کنند (جدول ۲).

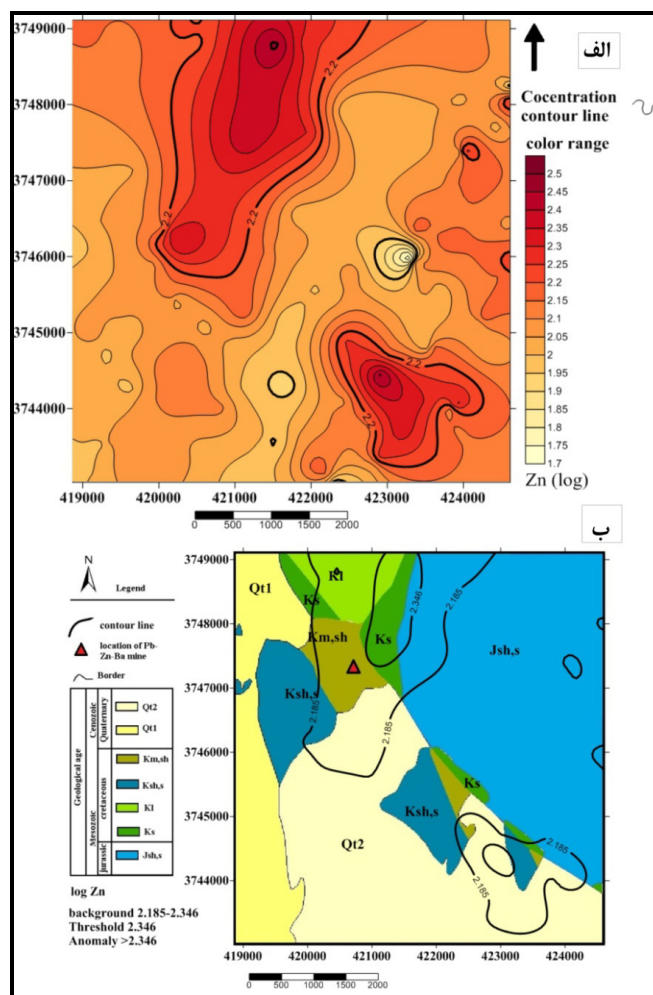
در بررسی پراکندگی غلظت عناصر از دو نوع نقشه خطوط هم غلظت و نقشه تفکیک بی‌هنجری از زمینه به روش لپلیتیه استفاده شد. در روش لپلیتیه مقادیر متناظر با درصد فراوانی تجمعی $0.97\% \text{ تا } 0.97\%$ به عنوان زمینه و 0.97% به بالا به عنوان مناطق بی‌هنجری معرفی شدند. مقادیر متناظر با درصد فراوانی تجمعی 0.97% همان حد آستانه‌ای برای تفکیک زمینه از بی‌هنجری در نظر گرفته شد. این مقادیر برای عناصر K, Mn, Ce, Ca, Ba, As



شکل ۴. الف: نقشه خطوط هم غلظت Pb ، ب: نقشه تطابق واحدهای زمین‌شناسی با مناطق بی‌هنجری (جهت توصیف واحدهای زمین‌شناسی به شکل ۲ مراجعه شود).

جدول ۲. تعیین توزیع داده‌ها براساس مقادیر چولگی و کشیدگی

برای داده‌های دست نخورده			عنصر	برای داده‌های دست نخورده			عنصر
نوع توزیع	کشیدگی	چولگی		نوع توزیع	کشیدگی	چولگی	
لاغ نرمال	۴/۷۵	۲/۱۰	<i>S</i>	لاغ نرمال	۱/۳۲	۱/۲۴	<i>As</i>
لاغ نرمال	۲/۲۷	۱/۵۱	<i>Sr</i>	لاغ نرمال	۲/۶۲	۱/۹۸	<i>Ba</i>
نرمال	۰/۳۵	۰/۲۳	<i>Th</i>	لاغ نرمال	۲/۶۲	۱/۹۶	<i>Ca</i>
نرمال	-۰/۷۷	۰/۰۸	<i>U</i>	لاغ نرمال	۱/۵۹	۱/۳۲	<i>Ce</i>
نرمال	۰/۸۷	۰/۷۴	<i>W</i>	نرمال	۰/۱۱	-۰/۲۰	<i>K</i>
لاغ نرمال	۴/۵۱	۱/۷۲	<i>Zn</i>	لاغ نرمال	۲/۶۱	۱/۷۹	<i>Mn</i>
نرمال	-۰/۶۴	-۰/۱۱	<i>Zr</i>	لاغ نرمال	۱/۹۵	۱/۲۷	<i>Pb</i>

شکل ۵. الف: نقشه خطوط هم غلظت *Zn* ب: نقشه طابق واحدهای زمین‌شناسی با مناطق بی‌هنجری *Zn*

زمین‌شناسی مشخص شد، واحدهای زمین‌شناسی سازند ژوراسیک ($J^{sh,s}$) و دو واحد از سازند کرتاسه (K^l و $K^{sh,s}$) دارای بیشترین تعداد بی‌هنجری و واحد دیگری از سازند کرتاسه ($K^{m,sh}$) دارای کمترین تعداد بی‌هنجری است.

با انطباق نقشه‌های واحدهای زمین‌شناسی بر مناطق بی‌هنجری به روش لپیلیته، نواحی بی‌هنجری یا زمینه در واحدهای زمین‌شناسی مشخص گردید (شکل ۴). لازم به توضیح است عناصر *Ce* و *K* دارای بی‌هنجری ممکن و دو عنصر *As* و *U* بی‌هنجری نشان نمی‌دهند (جدول ۳). با انطباق نقشه بی‌هنجری‌های عناصر بر روی واحدهای

جدول ۳. تقسیم‌بندی بی‌هنگاری ژئوشیمیایی عناصر براساس انطباق آن‌ها با واحدهای زمین‌شناسی (* نشانه وجود بی‌هنگاری) (جهت توصیف واحدهای زمین‌شناسی به شکل ۲ مراجعه شود).

واحد های زمین‌شناسی							منطقه	عنصر
Q^{l2}	Q^I	$K^{m,sh}$	$K^{sh,s}$	Kl	Ks	$J^{sh,s}$		
-	-	-	-	-	-	-	بی‌هنگاری احتمالی	<i>Ba</i>
-	*	-	*	-	-	-	بی‌هنگاری احتمالی	<i>Ca</i>
-	-	-	-	-	-	*	بی‌هنگاری احتمالی	<i>Ce</i>
-	-	-	-	-	-	*	بی‌هنگاری ممکن	
*	-	-	-	*	*	*	بی‌هنگاری احتمالی	<i>K</i>
*	-	-	-	-	-	*	بی‌هنگاری ممکن	
-	-	-	-	-	-	*	بی‌هنگاری احتمالی	<i>Mn</i>
-	-	-	*	-	-	-	بی‌هنگاری احتمالی	<i>Pb</i>
-	-	-	*	-	-	-	بی‌هنگاری احتمالی	<i>S</i>
*	-	-	*	-	-	-	بی‌هنگاری احتمالی	<i>Sr</i>
*	-	*	-	-	*	-	بی‌هنگاری احتمالی	<i>Th</i>
-	-	-	-	-	-	-	بی‌هنگاری احتمالی	<i>U</i>
*	-	-	-	*	*	*	بی‌هنگاری احتمالی	<i>W</i>
*	-	-	*	*	*	*	بی‌هنگاری احتمالی	<i>Zn</i>
*	-	-	-	-	-	*	بی‌هنگاری احتمالی	<i>Zr</i>
۶	۱	۱	۵	۳	۴	۶	بی‌هنگاری احتمالی	تعداد
۱	۲	بی‌هنگاری ممکن	دفعات وجود عناصر در مناطق

دو منطقه بی‌هنگاری، یکی در حوالی معدن سنگل با روند شمال‌شرق-جنوب‌غربی و دیگری در جنوب‌شرق معدن واقع شده و سایر مناطق تهی از عناصر فوق هستند. در نقشه خطوط هم غلظت، ترکیب سه عنصر *Ba*, *Pb* و *Zn* نیز روند افزایشی مشابه شاخص سینگولاریتی دارند (شکل ۷‌ب).

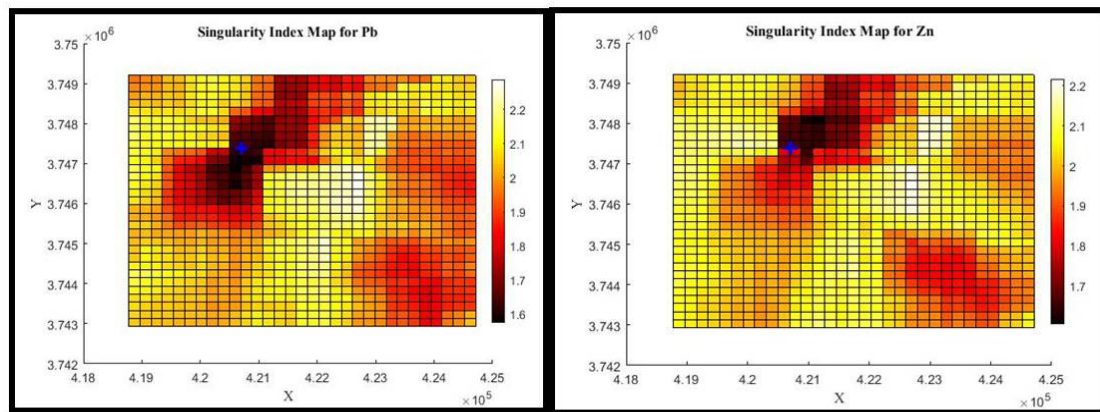
جهت تایید مدل سینگولاریتی، انطباق نقشه مورد نظر با نقشه لپتیلیتیه صورت گرفت (شکل ۸). شاخص *Th*, *U*, *Sr Mn*, *K*, *Ca*, *Ce*, *Ba*, *As* در شکل‌های ۹ و ۱۰ ارائه شده است. مناطق دارای *W* در شکل‌های ۹ و ۱۰ ارائه شده است. مناطق دارای بی‌هنگاری *As*, *Mn*, *Pb* و *K* دارای مناطق سینگولاریتی مشتبه به هم و *Ba* و *Sr* نیز بی‌هنگاری‌های شبیه به هم ایجاد نموده‌اند. تقسیم‌بندی مناطق بر اساس مقدار سینگولاریتی مشتبه و غنی‌شدگی در شکل ۱۱ ارائه شده است.

۲-۴- بررسی پراکندگی عناصر به روش شاخص

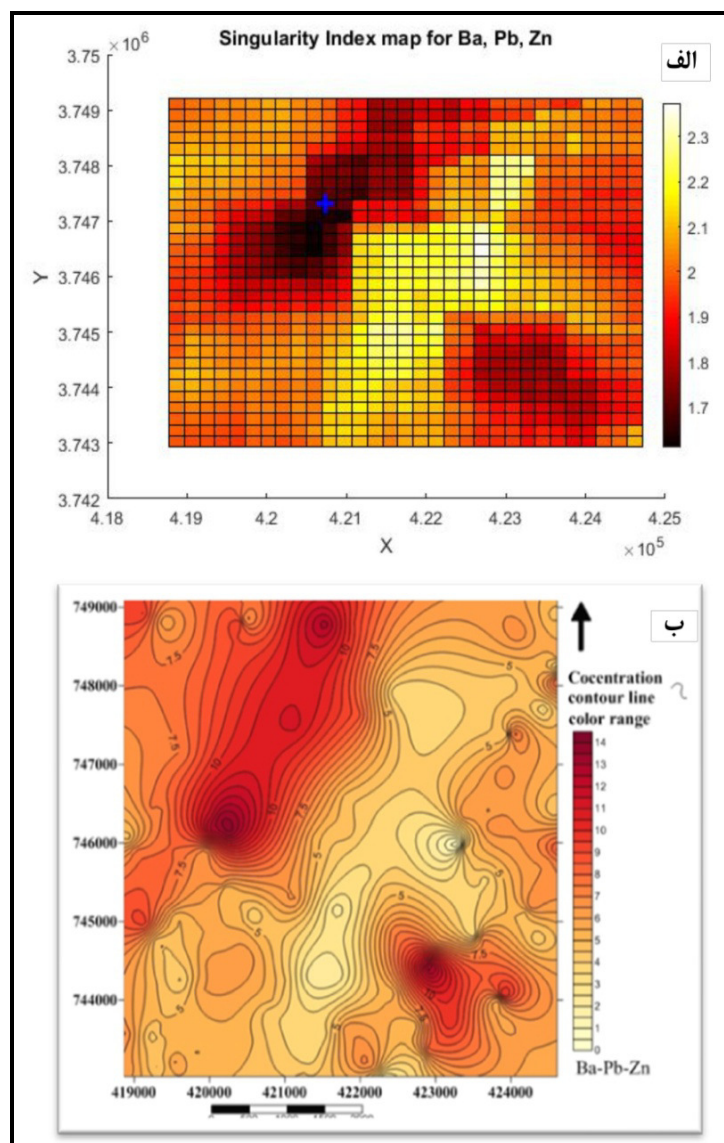
سینگولاریتی

شاخص سینگولاریتی برای عناصر *K*, *Ce*, *Ca*, *As*, *Ba*, *Pb*, *W*, *U*, *Th*, *Sr*, *S*, *Mn*, *Pb* سینگولاریتی کمتر از ۲ نمایان گر مناطق غنی شده و سلول‌های با شاخص سینگولاریتی در حدود ۲ نمایان گر مناطق زمینه می‌باشد. شاخص سینگولاریتی *Pb* حاکی است که *Pb* در حوالی معدن *Zn* و *Pb* سنگل بیشترین غنی‌شدگی را دارد (شکل ۶). در جنوب‌شرقی منطقه *Pb* نزدیک به زمینه ژئوشیمیایی و در قسمت‌های مرکزی تهی‌شدگی نشان می‌دهد. بر اساس شاخص سینگولاریتی، *Zn* در شمال‌شرقی معدن *Pb* و *Zn* سنگل دارای غنی‌شدگی است (شکل ۶).

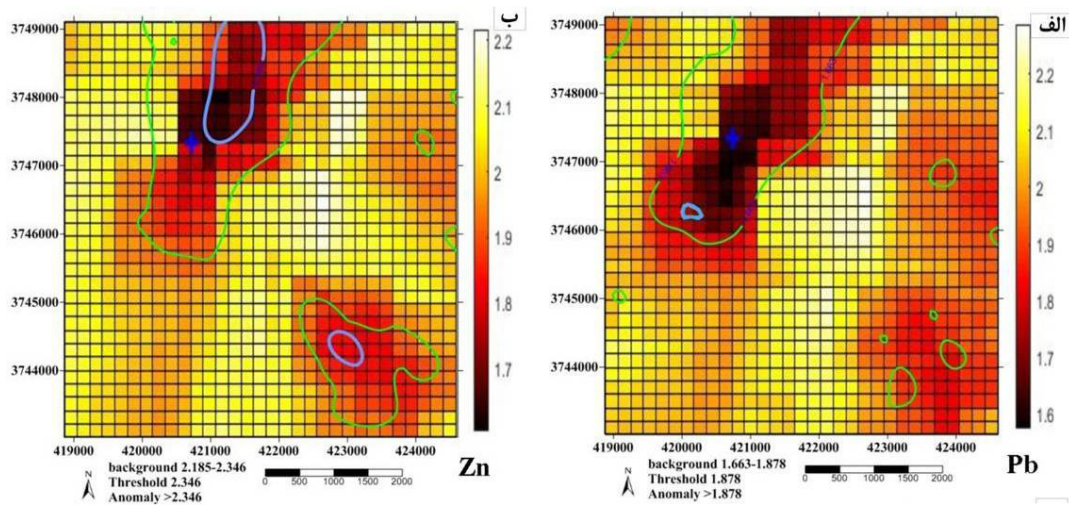
جهت بررسی دقیق‌تر بی‌هنگاری‌ها، از نقشه ترکیبی عناصر استفاده شد. نقشه شاخص سینگولاریتی برای سه عنصر *Ba*, *Pb* و *Zn* در شکل ۷ الف نشان داده شده است.



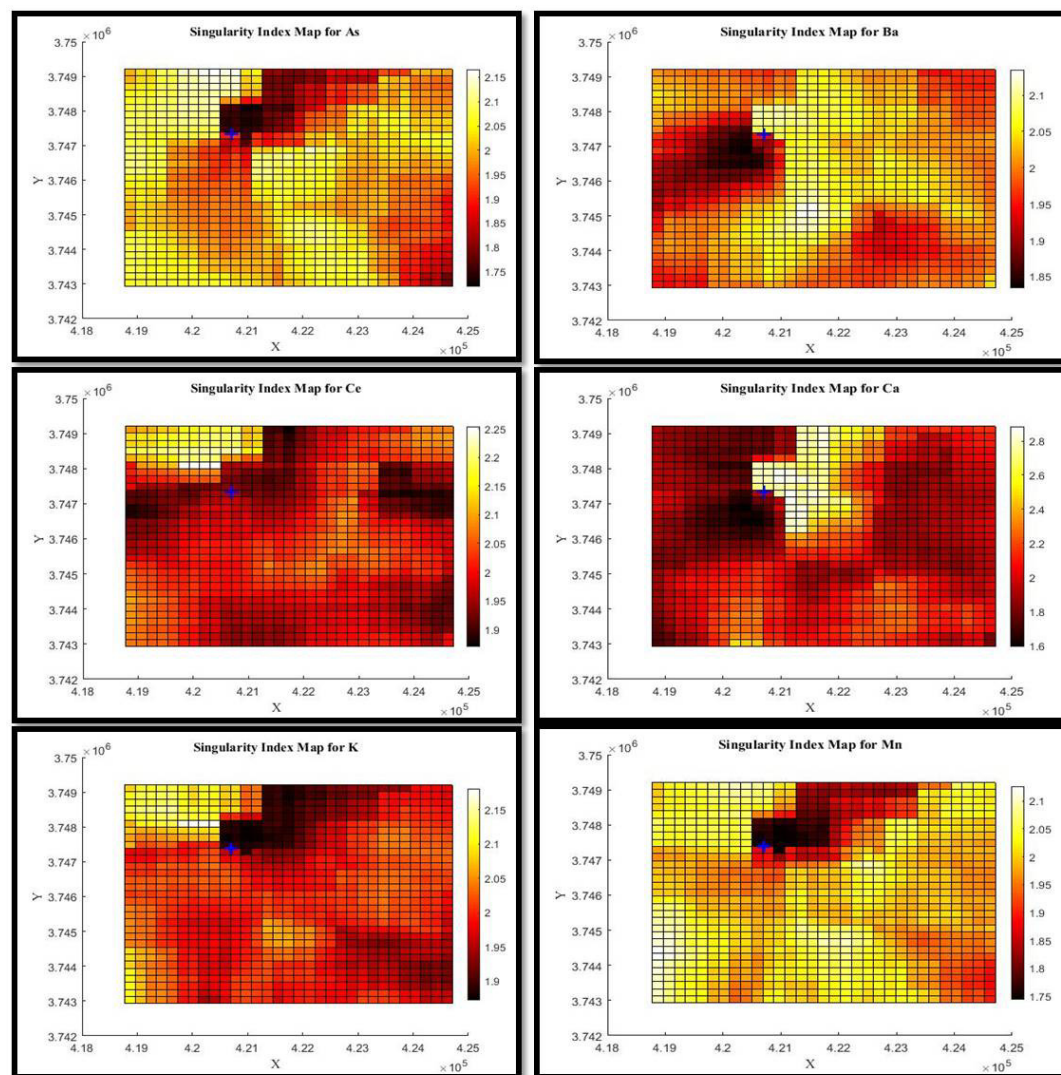
شکل ۶. شاخص سینگولاریتی Pb و Zn (موقعیت معدن سنگل)



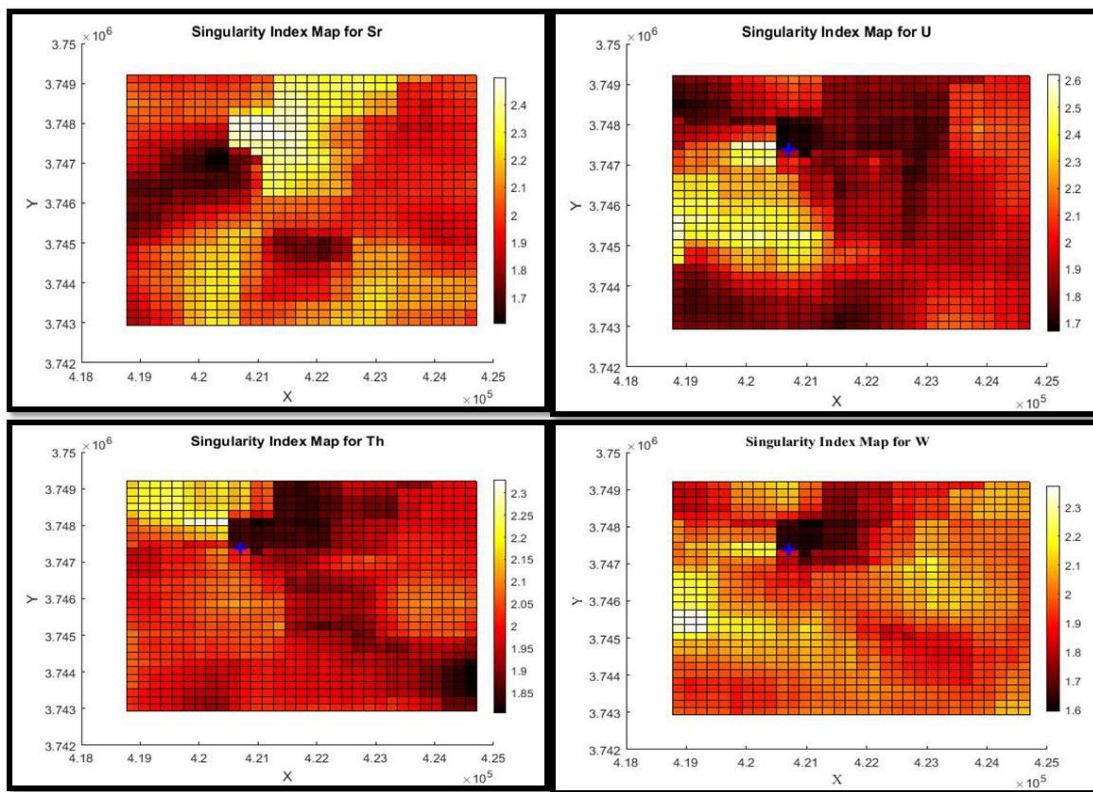
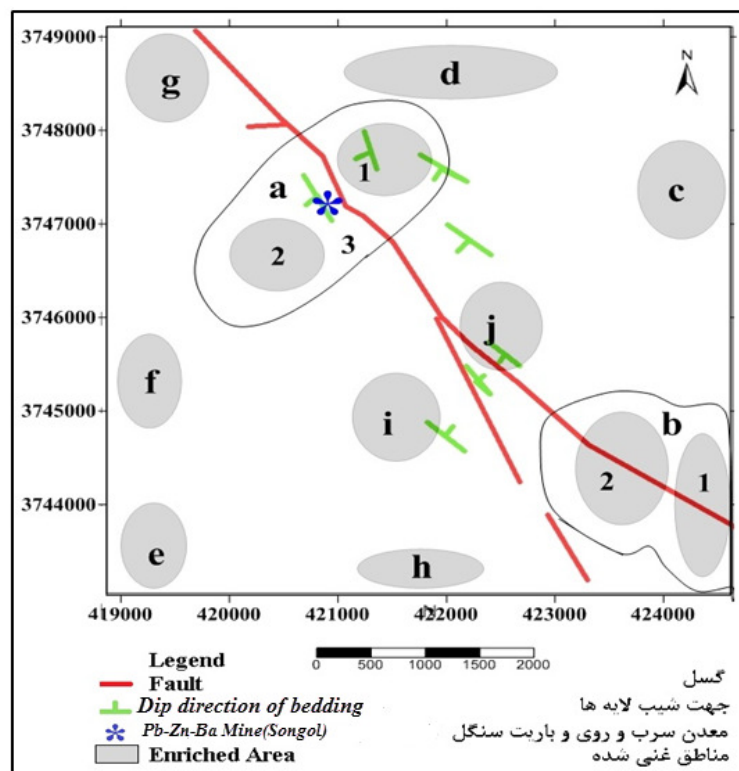
شکل ۷. الف: نقشه شاخص سینگولاریتی ترکیبی Ba, Pb, Zn ، ب: نقشه خطوط هم غلظت آنها



شکل ۸. تطابق نقشه‌های بی‌هنگاری و زمینه حاصل از روش لپلیتیه و نقشه‌های شاخص سینگولاریتی برای Zn و Pb



شکل ۹. نقشه شاخص سینگولاریتی عناصر Mn و K , Ca , Ce , Ba , As

شکل ۱۰. نقشه شاخص سینگولاریتی عناصر W , Th , U , Sr 

شکل ۱۱. موقعیت بی‌هنچاری‌های حاصل از شاخص سینگولاریتی و تطابق آن‌ها با ساختارهای زمین‌شناسی

(f) Sr و Ba,Ca,Ce غنی‌شدنگی حاشیه غربی شامل:

(g) W و Ca,U غنی‌شدنگی شمال‌غربی شامل:

(h) Zr و U غنی‌شدنگی حاشیه جنوبی شامل:

(i) Sr و Ca,S غنی‌شدنگی برای:

(j) Zr و Th غنی‌شدنگی برای:

منطقه حائز اهمیت در جنوب‌شرق معدن سنگل واقع شده است (b) در شکل ۱۱ که غنی از عناصر Ba,Mn,k,Pb,W,Zn و Zr است. این منطقه می‌تواند برای اهداف اکتشافی مدنظر قرار گیرد. این منطقه نیز مانند منطقه a بر روی گسل واقع شده است (شکل ۱۱). با توجه به شکل ۱۲ خصوصیات سنگ‌شناسی منطقه بی‌هنجری b همانند منطقه a بی‌هنجری می‌باشد؛ به طوریکه هر دو منطقه شامل واحدهای سنگی K^s , $J^{sh,s}$, $K^{m,sh}$ و $K^{sh,s}$ هستند. منطقه بی‌هنجری d نیز نسبت به عناصر As,Ce,K,Mn,Pb,Th,U,W,Zn و Zr غنی‌شدنگی نشان می‌دهد. این منطقه بین سنگ‌های سازند ژوراسیک و کرتاسه قرار گرفته است. منطقه بی‌هنجری d از نظر نوع عناصر غنی شده و واحدهای زمین‌شناسی شبیه به منطقه بی‌هنجری a1 است.

با توجه به شکل ۱۱ مناطق بی‌هنجری در منطقه چنان

خیمن به شرح ذیل است:

(۱) اطراف معدن سنگل سه سری مدل غنی‌شدنگی برای

عناصر دیده می‌شود (a): (۱) غنی‌شدنگی در شمال

معدن که شامل عناصر (b): (۲) غنی‌شدنگی در قسمت جنوبی معدن که شامل

عناصر Sr و Ba,Ca با روند شمالی-جنوبی در پیرامون معدن

(۲) قسمت جنوب‌شرقی منطقه نیز دارای دو سری مدل

غنی‌شدنگی عناصر است (b): (۱) بی‌هنجری در

Zr و As,Ce,K,Mn,Th (۲) غنی‌شدنگی از عناصر

Pb و Ba,K,Pb,Th,W,Zn در حاشیه آنومالی‌های

.(c) غنی‌شدنگی شمال‌شرقی منطقه شامل Ce و Ca

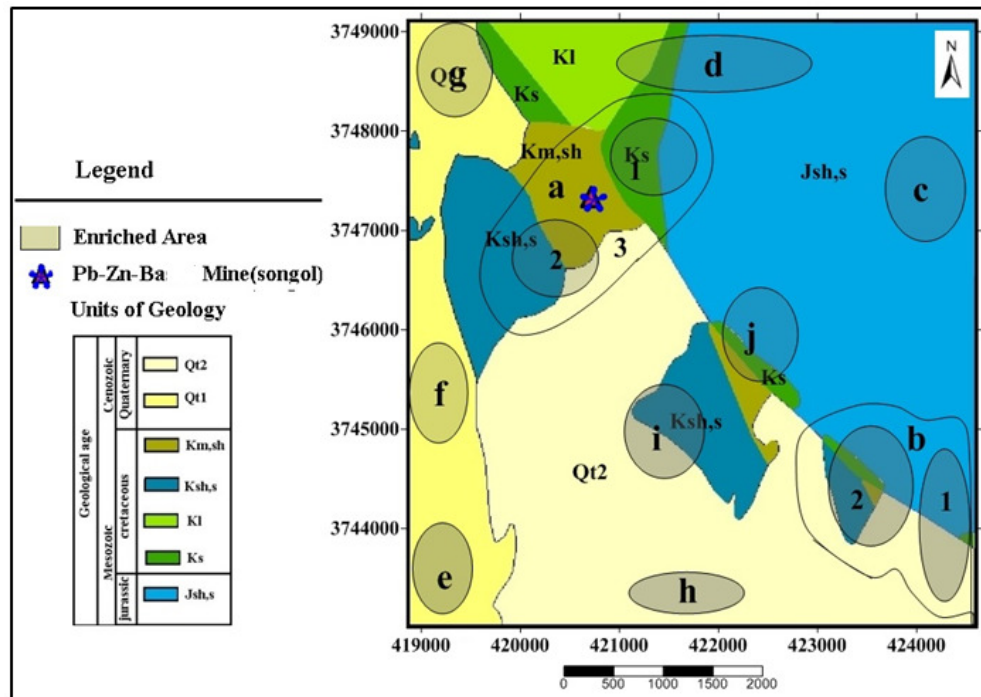
این بخش برای عنصر Mn تهی‌شدنگی و برای عنصر

Zn و Pb زمینه نشان می‌دهد.

(d) غنی‌شدنگی حاشیه شمالی شامل As,Ce,K,Mn,Pb,Th,U,W,Zn :

تهی‌شدنگی برای Ca,Ba,Sr

(e) غنی‌شدنگی جنوب‌غربی شامل: (f) W و Ca,Sr,U



شکل ۱۲. موقعیت بی‌هنجری‌های حاصل از شاخص سینگولاریتی و تطابق آن‌ها با واحدهای زمین‌شناسی

- [8] Zhao, J., Zuo,R., Chen,S., Kreuzer,O.P (2014) Application of the tectono-geochemistry method to mineral prospectivity mapping: a case study of the Gaosong tin-polymetallic deposit, Gejiu district, SW China, *Ore Geology Reviews* 71, 719-734.
- [9] Zuo, R., Cheng, Q., Agterberg, F.P., Xia,Q (2009) Application of singularity mapping technique to identify local anomalies using stream sediment geochemical data, a case study from Gangdese, Tibet, western China, *Journal of Geochemical Exploration*, vol. 101, pp. 225–235.
- [10] Zuo,R., Wang,J., Chen,G., Yang. M (2014) Identification of weak anomalies: A multifractal perspective, *Journal of Geochemical Exploration* 148, 12-24.
- [11] Zuo, R., Xia, Q. & Zhang, D (2013) A comparison study of the C-A and S-A models with singularity analysis to identify geochemical anomalies in covered areas, *Applied Geochemistry*, N. 33, PP. 165–172.

۵- نتیجه‌گیری

در تفکیک بی‌هنجاری از زمینه، روش لپلیتیه روش مناسبی برای تعیین بی‌هنجاری در منطقه نمی‌باشد. در نقشه‌های حاصل از روش شاخص سینگولاریتی غنی شدگی ۱۴ عنصر Th, Sr, S, Pb, Ce, K, Mn, Ca, Ba, As در اطراف معدن سنگل مشاهده شد. همچنین در این نقشه‌ها مناطق غنی‌شده، زمینه و تهی شده به صورت واضح قابل تشخیص‌اند. نتایج نقشه‌های حاصل از روش شاخص سینگولاریتی نشان داد که این نقشه‌ها در بررسی بی‌هنجاری‌های ژئوشیمیایی ضعیف نسبت به روش لپلیتیه مناسب‌تر هستند. نقشه‌های سینگولاریتی غنی‌شده‌گی را در چند منطقه از جمله شمال معدن سنگل (عناصر U, W, ZnAs, K, Mn, Th, Zr و Ce) و جنوب معدن سنگل (عناصر Sr و Ba, Ca و Pb) و عناصر Ce با روند شمالی-جنوبی در پیرامون معدن را نشان داد.

منابع

- [۱] سازمان زمین‌شناسی و اکتشافات معدنی کشور (۱۳۸۶) نقشه زمین‌شناسی ۱:۱۰۰۰۰۰
- [۲] قدیمی، ز (۱۳۹۴) استفاده از روش سینگولاریتی در تعیین آنومالی‌های ژئوشیمیایی منطقه خمین به کمک داده‌های رسوبات آبراهادی، پایان‌نامه دوره کارشناسی ارشد، مهندسی معدن گرایش اکتشاف.
- [۳] مدنی، ح (۱۳۹۰) مبانی اکتشاف مواد معدنی (جلد اول)، انتشارات جهاد دانشگاهی واحد صنعتی امیرکبیر.
- [۴] Cheng, Q (2007) Mapping singularities with stream sediment geochemical data for prediction of undiscovered mineral deposits in Gejiu, Yunnan Province, China, *Ore Geology Reviews*, no. 32, pp. 314 – 324.
- [۵] Cheng, Q., Agterberg,F. P (2009) Singularity analysis of ore-mineral and toxic trace elements in stream sediments, *Computers & Geosciences*, No. 35, pp. 234–244.
- [۶] Cheng,Q., Zhao, P (2011) Singularity theories and methods for characterizing mineralization processes and mapping geo-anomalies for mineral deposit prediction, *GEOSCIENCE FRONTIERS* (China University of Geosciences (Beijing)), No 2(1), pp 67 – 79.
- [۷] Liu,Y., Cheng, Q., Xia,Q. & Wang. X (2014) Identification of REE mineralization-related geochemical anomalies using fractal/multifractal methods in the Nanling belt, South China, *Environment Earth Science* 72(12), 5159-5169.

Determination of geochemical anomalies of stream sediments in Pb-Zn Songol mine of north Khomein by using Singularity index mapping

Z. Ghadimi¹, F.Ghadimi^{2*} and M.Ghomī³

1, 2, 3- Dept., of Mining Engineering, Arak University of Technology, Arak

* ghadimi@Arakut.ac.ir

Received: 2016/10/31 Accepted: 2017/10/15

Abstract

The Chenar area of Khomein is located in the Sanandaj-Sirjan tectonic zone and in the Malayer-Isfahan metallogenic belt. This region has the mineralization of Pb, Zn, Ba, Ag and secondary mineralization such as quartz, hematite, limonite, calcite and malachite. In a geochemical study of drainage sediments, we were taken 127 samples and were analyzed 14 elements such as As, Ba, Ca, Ce, K, Mn, Pb, S, Sr, Th, U, W, Zn, and Zr and anomaly was determined by Lopiliteh and the singularity index method. The majority of elements are in the background according to anomalous maps by Lopiliteh method and the anomalies are seen only in limited areas of the region. The hidden anomalies are better identified in the maps of singularity index method and there is a good relationship between the derived anomalies and the position of the Sangol Pb-Zn mine in the region. The enrichment of elements such as As, Ba, Ca, Ce, K, Mn, Pb, S, Sr, Th, U, W, Zn, and Zr is shown by the singularity index method in the region. In this study, two districts with anomaly were identified as the future exploratory target.

Keywords: Singularity Index Mapping, Lopiliteh method, Stream sediment, Khomein